

УДК 539.41

ВЗАИМОДЕЙСТВИЕ УПРУГОЙ ВОЛНЫ С ПЛАСТИНКОЙ

A. M. Скобеев

(Москва)

В рамках динамической теории упругости строится численное решение одной осесимметричной задачи, возникшей в связи с проблемой измерения напряжений на границе между сплошной средой и жесткой стенкой. В цилиндрических координатах r, z среда заполняет цилиндр $z > 0, r < R$, причем возможен случай $R \rightarrow \infty$, когда среда занимает полупространство $z > 0$. Упругая среда граничит с жесткой стенкой, имеющей в плоскости $z = 0$ деформируемую часть в виде круглой упругой пластинки, защемленной по краям. Из бесконечности падает плоская продольная волна в виде полу бесконечной ступеньки. Исследуется взаимодействие этой волны с пластинкой, причем основное внимание уделяется изучению влияния параметров задачи на прогиб пластинки под действием волн.

1. Для измерения напряжений на границе между сплошной средой, например грунтом, и жесткой стенкой используются так называемые мембранные датчики.

Такой датчик представляет собой металлический цилиндр, в одно из оснований которого заделана упругая пластинка. Предполагается, что прогиб центра пластинки пропорционален действующему на ее поверхность напряжению. Коэффициент пропорциональности находят, помещая прибор в жидкость и измеряя прогиб под действием гидростатического давления. Корпус прибора помещен внутри стенки, так что в плоскости контакта находится только пластинка.

При этом способе измерения возникают систематические ошибки, вызванные тем, что среда обладает несущей способностью и при одинаковых напряжениях прогиб пластинки в жидкости будет больше, чем в твердой среде. Кроме того, если напряжение в среде изменится достаточно быстро, то пластинка просто не успеет прогнуться. Разумеется, могут существовать и другие ошибки, вызванные, например, несовершенством аппаратуры, но они здесь не рассматриваются.

Ошибки, о которых идет речь, существенно зависят от свойств среды и характера изменения нагрузки, в частности, в покоящейся жидкости они исчезают. При реальных измерениях свойства среды известны весьма приблизительно, особенно если цель измерений — получение сведений об этих свойствах. Поэтому в дальнейшем среда считается идеально упругой. Есть основания ожидать, что для упруго-пластической среды статическая ошибка будет меньше, чем для упругой, и это подтверждено в одном частном случае в работе автора [1]. Если это так, то результаты, полученные для упругой среды, могут использоваться и для оценки ошибок измерения в упруго-пластических средах.

Инерционные свойства пластинки сильнее всего проявляются при внезапном изменении нагрузки, поэтому рассматривается взаимодействие пластинки с волной в виде полу бесконечной ступеньки. Это позволяет выявить динамические эффекты, вызванные внезапным изменением нагрузки и получить статическое решение, просто проводя расчет до выхода на статический режим.

Рассмотрение ведется в цилиндрических координатах. Используются обозначения: t — время, r — радиальная, z — осевая координаты, u, w —

смещения по r и z , σ_{zz} , σ_{rr} , $\tau \equiv \sigma_{rz}$ — компоненты тензора напряжений, μ — модуль сдвига в среде. Используются безразмерные переменные, выбранные так, чтобы плотность среды, скорость распространения продольной волны в среде и радиус пластиинки равнялись единице. Связь между размерными и безразмерными величинами описывается выражениями

$$\begin{aligned} x_i &= x'_i / L, \quad u_i = u'_i / L, \quad \sigma_{ij} = \sigma'_{ij} / (\lambda' + 2\mu') \\ \mu &= \mu' / (\lambda' + 2\mu'), \quad t = c't' / L \quad (i = 1, 2) \end{aligned} \quad (1.1)$$

где штрихом обозначены размерные переменные, $x_1 = r$, $x_2 = z$, $u_1 = u$, $u_2 = w$, σ_{ij} — компоненты тензора напряжений, λ' и μ' — коэффициенты Ляме, L — размерный радиус пластиинки, $c' = \sqrt{(\lambda' + 2\mu')/\rho'}$ — скорость распространения продольной волны, ρ' — плотность среды.

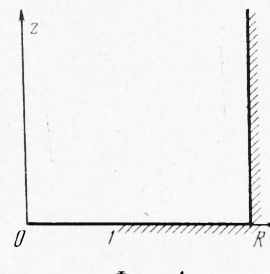
Задача предполагается осесимметричной. Уравнения теории упругости в этом случае имеют вид [2]

$$\begin{aligned} u_{tt} &= \mu u_{zz} + u_{rr} + (1 - \mu) w_{rz} + u_r / r - u / r^2 \\ w_{tt} &= w_{zz} + \mu w_{rr} + \mu w_r / r + (1 - \mu) (u_{rz} + u_z / r) \end{aligned} \quad (1.2)$$

Для этих уравнений ставятся начальные и граничные условия, и они решаются в области $z > 0$, $0 < r < R$ (фиг. 1).

Начальные условия описывают плоскую продольную волну, падающую на плоскость $z = 0$ из $z = \infty$; за фронтом среда находится в состоянии одноосной деформации с $\sigma_{zz} = 1/2$. Они имеют вид

$$\begin{aligned} u = u_t = 0, \quad w = z / 2, \quad w_t = 1/2 \text{ при } z > 0, \\ r < R, \quad t = 0 \end{aligned} \quad (1.3)$$



Фиг. 1

Граничные условия ставятся при $r = 0$, $r = R$ и $z = 0$.

Условия при $r = 0$ выбираются из соображений симметрии и сводятся к тому, что в силу осевой симметрии w должно быть четной, u — нечетной функцией r

$$u = 0, \quad w_r = 0, \quad \text{при } z > 0, \quad r = 0 \quad (1.4)$$

При $r = R$ среда граничит с жесткой гладкой стенкой, на которой $u = 0$, $\tau = 0$. Легко показать, что эти условия влечут за собой $w_r = 0$ на стенке, и, следовательно, при $r = R$ ставятся те же условия, что и при $r = 0$, т. е. (1.4).

В наиболее важном случае $R \rightarrow \infty$ среда заполняет полупространство $z > 0$, и граничное условие при $r = R$ исчезает.

При $z = 0$ ставится два граничных условия.

Первое из них отражает предположения о характере сцепления среды со стенкой и пластиинкой. Рассматриваются два крайних случая: 1) на границе отсутствует трение (условие проскальзывания), 2) $u = 0$ на границе (условие прилипания). Чтобы записать эти условия в единообразной форме, вводится параметр k , который может принимать только два значения: 0 и 1. Первое условие принимает вид

$$ku + (1 - k)\tau = 0 \text{ при } z = 0 \quad (1.5)$$

При $k = 0$ оно переходит в условие проскальзывания, при $k = 1$ — в условие прилипания, а другие значения k не рассматриваются.

Второе условие при $z = 0$ возникает из требования непрерывности нормальных смещений на границе. Так как при $1 \leq r \leq R$ среда граничит с жесткой стенкой, то $w = 0$ для этих r . При $r < 1$ среда граничит с упругой пластинкой, и для w должно выполняться уравнение колебаний пластиинки, которое в условиях цилиндрической симметрии имеет вид

$$\rho w_{tt} + I \Delta \Delta w - \sigma_{zz} = 0 \text{ при } z = 0, \quad r < 1 \quad (\Delta w = w_{rr} + w_r/r) \quad (1.6)$$

ρ и I — безразмерные плотность и жесткость пластиинки. В размерных переменных

$$\rho = \frac{\rho_1 d}{\rho' L}, \quad I = \frac{Ed^3}{12(1-\nu^2)(\lambda' + 2\mu')L^3}$$

где ρ_1 — плотность, d — толщина, L — радиус, E — модуль Юнга, ν — коэффициент Пуассона пластиинки.

Для уравнения (1.6), в свою очередь, возникают начальные и граничные условия. Начальные условия имеют вид

$$w = w_t = 0 \text{ при } t = 0, \quad z = 0, \quad r < 1$$

Граничное условие при $r = 1$ следует из предположения, что пластиинка защемлена по краю: $w = w_r = 0$. Условия при $r = 0$ сводятся к тому, что в осесимметричной задаче w — четная функция r , т. е. $w' = w''' = 0$ при $r = 0$.

2. Поставленная задача решается методом конечных разностей. Как обычно, область, в которой ищется решение, разбивается прямыми, параллельными осям координат, на квадраты со стороной h . Все функции рассматриваются только в узлах полученной сетки и в дискретные моменты времени. Производные по времени и координатам заменяются конечно-разностными отношениями, в результате получается система линейных алгебраических уравнений, которая решается на ЭВМ.

Прямая реализация этого метода невозможна хотя бы потому, что в результате получается бесконечная система уравнений. Поэтому исходная задача предварительно преобразуется: выделяется особенность в начальных условиях, бесконечная область заменяется конечной, а уравнение (1.6) преобразуется к более удобному виду.

Особенность в начальных условиях (разрыв w_t при $z = 0$) выделяется представлением начальных условий в виде суперпозиции статической нагрузки

$$w = z, \quad w_t = u_t = u = 0 \quad \text{при } t = 0 \quad (2.1)$$

и уходящей волны

$$w = -z/2, \quad w_t = 1/2, \quad u = u_t = 0 \quad \text{при } t = 0 \quad (2.2)$$

В силу линейности задачи решение будет равно сумме решений с начальными условиями (2.1) и (2.2). Решение, удовлетворяющее (2.2), имеет вид $u = 0$, $w = (t - z)/2$ при $z > t$, $u = 0$, $w = 0$ при $z \leq t$. Следовательно, при $z \leq t$ решение с начальными условиями (2.1) совпадает с решением исходной задачи.

Основной интерес представляет w при $t > 0$, $z = 0$, поэтому в дальнейшем начальные условия (1.3) заменяются на (2.1) и не делается различия между решением исходной задачи и решением с начальными условиями (2.1).

Следующее изменение в исходной постановке состоит в ограничении области, в которой ищется решение. Можно усмотреть, что постоянное решение $u = 0$, $w = z$ удовлетворяет всем условиям задачи, кроме уравнения колебаний пластиинки. Так как возмущение, вызванное движением

пластиинки, для конечных t распространяется на конечную область, представляется естественным искать решение только в этой области. Однако от этого способа пришлось отказаться, потому что рост возмущенной области накладывает неудобные ограничения на время, до которого можно продолжить расчет на БЭСМ-3М.

Чтобы избежать этих ограничений, вводилась фиктивная граница Γ и предполагалось, что на ней движение близко к плоскому одномерному. Для конечного R граница Γ была отрезком прямой $z = z_0$, $0 \leq r \leq R$, для бесконечного R — отрезками $z = z_0$, $0 \leq r \leq R_0$ и $r = R_0$, $0 \leq z \leq z_0$, причем z_0 и R_0 выбирались так, чтобы новая граница проходила через узлы сетки.

Введем следующие обозначения: $c_1 = 1$, $c_2 = \sqrt{\mu}$, l — нормаль к Γ , u^1 и u^2 — нормальные и касательные к Γ компоненты смещения в возмущенном движении. На участке $z = z_0$ введенные величины определяются равенствами

$$l = z, u^1 = w - z, u^2 = u$$

на участке $r = R_0$

$$l = r, u^1 = u, u^2 = w - z$$

В этих обозначениях предположение об одномерности возмущенного движения можно записать в виде

$$u_{tt}^\alpha = c_\alpha^2 u_{ll}^\alpha \text{ на } \Gamma \quad (\alpha = 1, 2) \quad (2.3)$$

Границные условия на Γ принимаются в виде

$$u_t^\alpha + c_\alpha u_l^\alpha = 0 \text{ на } \Gamma \quad (\alpha = 1, 2) \quad (2.4)$$

В (2.3) и (2.4) суммирования по α нет.

Можно показать, что в одномерном случае решение уравнений (2.3) с граничными условиями (2.4) совпадает с решением этих уравнений в неограниченной области. Использование условий (2.4) в неодномерной задаче внесет погрешность в решение, влияние которой оценивается в п. 4.

Наконец, уравнение (1.6) преобразуется так, чтобы входящие в него производные по z вычислялись во внутренних точках области. Обозначая индексом h величины при $z = h$ и использовав уравнения движения, получим

$$\sigma_{zz} = \sigma_{zz}^h - h \partial \sigma_{zz} / \partial z + O(h^2) = \sigma_{zz}^h - h w_{tt} + h(\tau_r + \tau/r) + O(h^2) \quad (2.5)$$

Из (1.5) можно усмотреть, что $\tau = kt$ при $z = 0$. Это необычное равенство следует из того, что k принимает только два значения: 0 и ± 1 , причем $\tau = 0$ при $k = 0$. Отсюда получается выражение для τ через смещения $\tau = k\mu w_r + k\mu u_z$. Так как на пластиинке $u = 0$ при $k = 1$, то $ku_z = ku_z^h / h + O(h)$ и

$$h(\tau_r + \tau/r) = k\mu h \Delta w + k\mu h(u_r^h + u^h/r) + O(h^2) \quad (2.6)$$

Подставляя (2.6) и (2.5) в (1.6) и используя выражение для σ_{zz}^h через смещения, получим

$$(\rho + h)w_{tt} + I\Delta \Delta w - k\mu h \Delta w = w_z^h + (1 - 2\mu + k\mu)(u_r^h + u^h/r) + O(h^2) \quad (2.7)$$

3. Для решения задачи была выбрана схема второго порядка точности. Значения u и w в момент времени $t + t_0$ вычислялись сначала во внутренних точках области, потом на границе с использованием уже вычисленных значений.

Во внутренних точках вычисления проводились по трехслойной явной схеме для уравнений (1.2). При этом использовались уже вычисленные значения u и w в моменты времени t и $t - t_0$ во всей области, включая границу.

Вычисления на участке границы $z = 0$, $0 \leq r \leq 1$ велись по четырехслойной неявной схеме для уравнения (2.7). Выбор явной схемы для уравнений (1.2) и неявной для (2.7) объясняется тем, что машинное время тратится в основном на вычисления внутренних точек, поэтому их следует вычислять самым простым способом, а для граничных точек выбрать такую схему, которая не накладывает дополнительных ограничений на шаг по времени.

Для устойчивости явной схемы необходимо выполнение критерия Куранта, поэтому полагалось $t_0 = h/2$, причем h выбиралось так, чтобы $1/h$ было целым числом.

Для описания разностной схемы вводятся дополнительные обозначения

$$n_1 = 1/h, n_2 = z_0/h, n_3 = R_1/h, R_1 = R$$

если R конечно, $R_1 = R_0$, если R бесконечно, l — нормаль к границе.

Производные по координатам и времени аппроксимируются центральными разностными операторами везде, где это возможно, в остальных случаях используются односторонние операторы.

Центральные и односторонние разностные операторы определяются соотношениями

$$\delta_x f = (f_+ - f_-) / (2\Delta x), \quad \delta_{xx} f = (f_+ - 2f + f_-) / (\Delta x)^2 \quad (3.1)$$

$$\delta_{xx}^{-1} f = (3f - 4f_- + f_2) / (2\Delta x), \quad \delta_{xx}^{-1} f = (2f - 5f_- + 4f_2 - f_3) / (\Delta x)^2 \quad (3.2)$$

$$f_+ = f(x + \Delta x), \quad f_- = f(x - \Delta x), \quad f_2 = f(x - 2\Delta x), \quad f_3 = f(x - 3\Delta x)$$

Здесь f — произвольная функция аргумента x , величина $\Delta x = t_0$, если x означает t , $\Delta x = \pm h$ в остальных случаях. Знак Δx безразличен для центральных операторов, для односторонних он выбирается так, чтобы (3.2) не содержало внешних точек.

Видно, что (3.1), (3.2) аппроксимируют соответствующие дифференциальные операторы с точностью до h^2 .

Если ввести сокращенные обозначения

$$\Delta_1 = \delta_r + r^{-1}, \quad \Delta_r = \Delta_1 \delta_r, \quad \Delta_z = \Delta_1 \delta_z, \quad \Delta_2 = \Delta_r \Delta_r, \quad \delta_{rz} = \delta_r \delta_z$$

то разностный аналог уравнений (1.2) можно записать в виде

$$\begin{aligned} \delta_{tt} u &= \Delta_r u + \mu \delta_{zz} u + (1 - \mu) \delta_{rz} w - u / r^2 \\ \delta_{tt} w &= \delta_{zz} w + \mu \Delta_r w + (1 - \mu) \Delta_z u \end{aligned} \quad (3.3)$$

где u и w определены для значений аргументов

$$t = mt_0, \quad r = ih, \quad z = jh \quad (m \geq 0, 0 < i < n_3, 0 < j < n_2)$$

причем m, i, j — целые. Для уравнения (2.7) принималась аппроксимация

$$(p + h) \delta_{tt} w + I \Delta_2 w - k \mu h \Delta_r w = \delta_z w + (1 - 2\mu + k\mu) \Delta_1 u \quad (3.4)$$

где $t = mt_0$, $r = ih$, $m \geq 1$, $0 \leq i < n_1$, $z = h$ в правой части, $z = 0$ в левой.

Оператор Δ_r содержит особенность $ur = 1$ при $r = 0$, а $\Delta_2 = \Delta_r \Delta_r$ при $r = 0$, $r = h$. В этих точках операторы Δ_r и Δ_2 принимались с использованием граничных условий для (1.6) в виде

$$\begin{aligned} \Delta_r w &= 2(w_1 - w_0)/h^2 \text{ при } r = 0 \\ \Delta_r w &= 2(w_0 - w)/h^2 \text{ при } r = 1 \\ \Delta_2 w &= 16(w_0 - 4/3w_1 + w_2/3)/h^4 \text{ при } r = 0 \\ \Delta_2 w &= (-4w + 26w_0/3 - 20w_1/3 + 2w_2)/h^4 \text{ при } r = h \\ w_i &= w(t + t_0, r + ih, 0), \quad w_- = w(t + t_0, r - h, 0) \end{aligned} \quad (3.5)$$

Уравнения (3.4) представляют собой систему линейных уравнений для определения w на участке границы $z = 0$, $0 \leq r \leq 1$. Эта система решалась методом прогонки [3].

Границочное условие (1.5) принималось в виде

$$ku + \mu(1 - k)(\delta_r w + \delta_z^{-1} u) = 0 \quad \text{при } z = 0, 0 < r \leq R_1 \quad (3.6)$$

Это условие позволяет вычислить u , если w известно на всей нижней границе.

Границное условие (2.4) аппроксимировалось с использованием центральных разностных отношений. Если в (2.4) вместо u_t^α и u_l^α подставить $\delta_t u^\alpha$ и $\delta_l u^\alpha$, то полученная система будет содержать лежащие вне области точки. Для исключения этих точек использовалась разностная аппроксимация уравнений (2.3). В результате граничное условие на Γ получалось в виде

$$2c_\alpha (\delta_l u^\alpha + c_\alpha \delta_t u^\alpha) + h (\delta_{tt} u^\alpha - c_\alpha^2 \delta_{ll} u^\alpha) = 0 \quad (3.7)$$

где $\alpha = 1,2$ и суммирования по α нет.

Границное условие $w_r = 0$ заменялось на $\delta_r w = 0$, а условия $u = 0$ и $w = 0$ оставлялись без изменений.

Начальные условия принимались при $t = 0$ и $t = -t_0$ во всей области в виде (2.1). Для (3.4) необходимо еще одно условие, поэтому полагалось $w = 0$ при $t = -2t_0$, $z = 0$, $0 < r \leq 1$.

Изложенная схема была реализована в виде программы на языке АЛГОЛ-60. Расчеты проводились на БЭСМ-3М. Максимальное число точек сетки 2500. Так как в каждой точке нужно было хранить четыре величины, то массивы смещений не помещались в оперативной памяти и их приходилось хранить на барабане. Обмен с барабаном занимал примерно половину времени счета. Время, необходимое для расчета решения от 0 до t , составляло $\sim 2 \cdot 10^{-4} z_0 R_1 t / h^3$ мин.

4. Целью расчетов была оценка влияния параметров задачи на прогиб пластинки. Как уже было сказано в начале, при интерпретации результатов измерения предполагается, что прогиб центра пластиинки пропорционален напряжению в среде. Если через σ обозначить измеряемое напряжение, то из решения соответствующей гидростатической задачи находится выражение для σ через смещение центра пластиинки

$$\sigma = 64 w(t, 0, 0) / I \quad (4.1)$$

Если не учитывать влияние прогиба пластиинки на поле напряжений, то в отраженной волне $\sigma_{zz} = 1$ при $t > 0$, следовательно, σ равна отношению измеряемого напряжения к истинному.

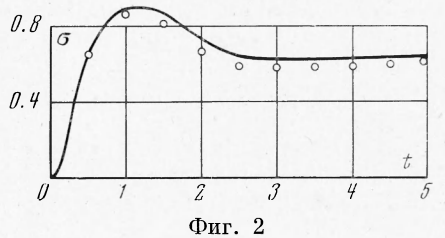
В задачу входит пять физических параметров — μ , k , ρ , I , R — и три параметра, характеризующие выбранную схему, — h , z_0 , R_0 . Параметры схемы влияют только на точность результатов, физические же параметры влияют на σ по существу.

Так как оценить одновременное влияние всех параметров при численном счете совершенно невозможно, то влияние каждого параметра исследуется отдельно. Чтобы не выписывать одинаковые комбинации параметров, в дальнейшем полагается

$$\begin{aligned} \mu &= 0.3, \quad k = 0, \quad \rho = 0.1, \quad I = 0.02, \quad R \rightarrow \infty, \quad h = 0.1, \quad z_0 = 3.0, \\ R_0 &= 3.0 \end{aligned}$$

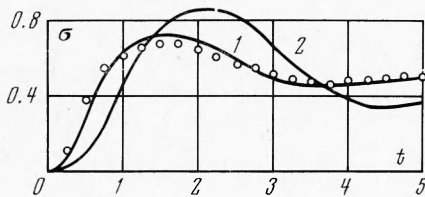
и оговариваются только отличия параметров от перечисленных значений.

Проще всего исследовать влияние k , так как оно принимает только два значения: 0 и 1. Было обнаружено, что σ слабо зависит от k . На фиг. 2 сплошной линией изображено $\sigma(t)$ для $k = 0$, точки соответствуют решению с $k = 1$. Аналогичные результаты получились и для $I = 0.01, 0.04, 0.08$, и можно считать, что k влияет на σ в пределах нескольких процентов. Это обстоятельство представляется важным, так как относительно реальных условий контакта обычно известно только, что они лежат где-то между условиями прилипания ($k = 1$) и полного проскальзывания ($k = 0$).

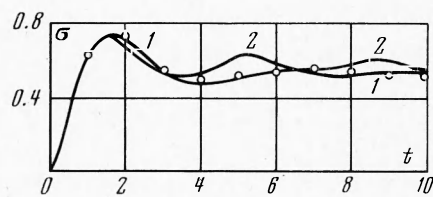


Фиг. 2

Безразмерная плотность ρ , в принципе, может быть любой, однако для реальных датчиков она порядка 0.1. Так как решение статической задачи не зависит от ρ , то ρ влияет только на переходной процесс. Это влияние видно из фиг. 3, где $I = 0.01$, кривая 1 изображает $\sigma(t)$ для $\rho = 0.1$, кривая 2 — для $\rho = 0.5$, точки означают σ для $\rho = 0.02$. Видно,



Фиг. 3



Фиг. 4

что при малых ρ величина $\sigma(t)$ слабо зависит от ρ , а длительность переходного процесса растет с ростом ρ , т. е. более тяжелые пластиинки имеют худшие динамические характеристики.

Исследовалось также влияние боковых стенок. Как и следовало ожидать, оно оказалось максимальным для малых I , но и в этом случае оно все равно мало. На фиг. 4 $I = 0.01$, кривая 1 изображает $\sigma(t)$ для $R \rightarrow \infty$, кривая 2 — для $R = 1.1$, точки соответствуют $R = 3$.

Наиболее существенна зависимость σ от μ и I .

Влияние этих параметров исследовалось в [4], где было построено численное решение статической задачи для $R \rightarrow \infty$ и $k = 0$.

Эта же задача решалась другим методом Е. Б. Сретенским¹, которым было получено выражение

$$\sigma_0 = [1 + 0.0431\mu(1 - \mu)/I]^{-1} \quad (4.2)$$

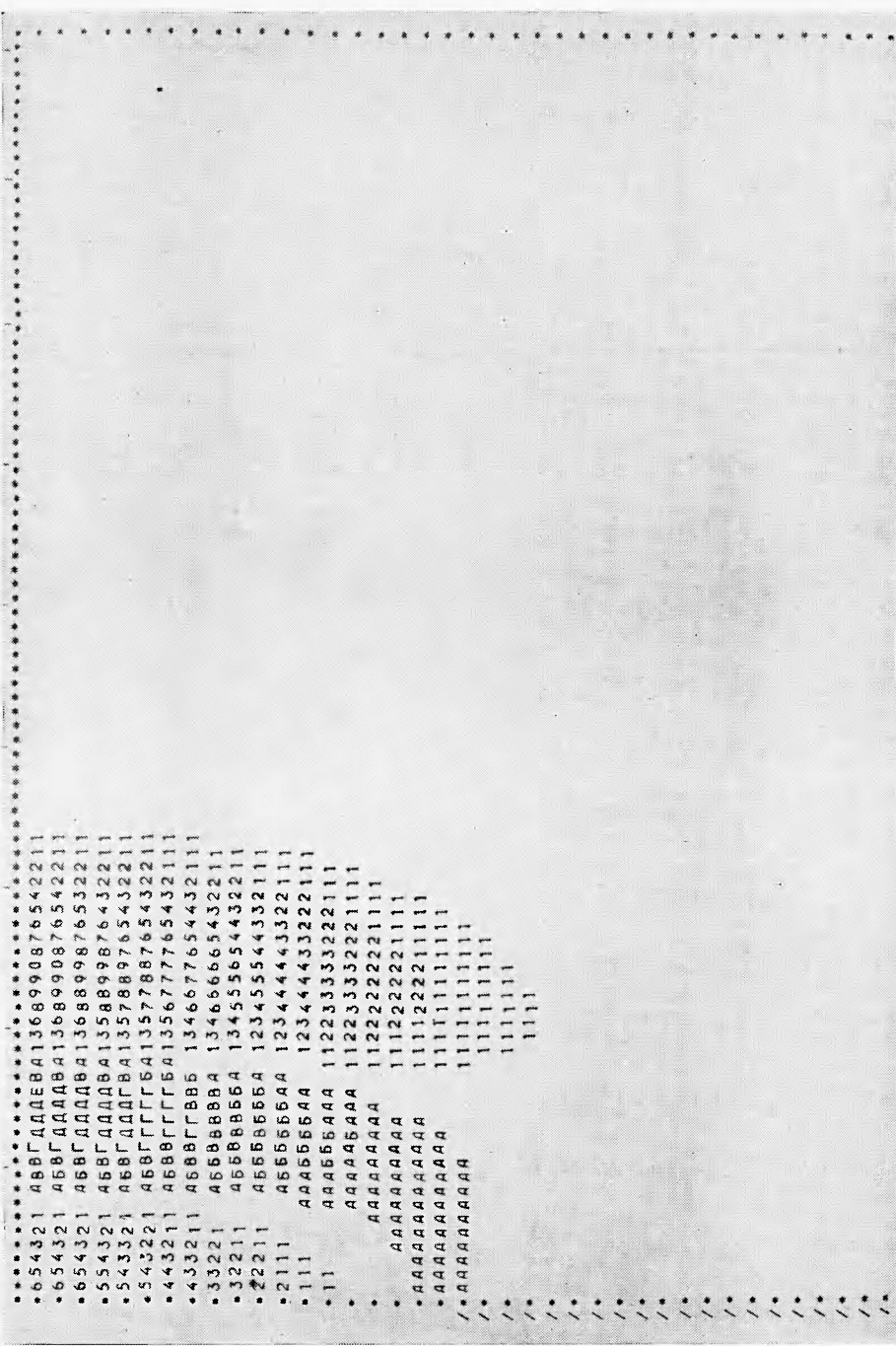
где принятые обозначения данной работы и σ_0 соответствует $\sigma(\infty)$. Следует заметить, что численные результаты [4] хорошо описываются формулой (4.2).

Оценивались пределы применимости (4.2). Для этого решение считалось до тех пор, пока $\sigma(t)$ не становилось постоянной. Полученная постоянная σ_1 сравнивалась с σ_0 из (4.2). Результаты приведены ниже

I	0.01	0.04	0.08	0.10	1.00	
σ_0	0.52	0.82	0.90	0.92	0.99	$\mu = 0.3$
σ_1	0.53	0.83	0.91	0.93	1.01	
μ	0.00	0.10	0.30	0.50		
σ_0	1.00	0.84	0.69	0.65		$I = 0.02$
σ_1	1.01	0.86	0.69	0.65		

Контрольные расчеты с повышенной точностью показали, что различие между σ_0 и σ_1 объясняется скорее ошибками численного счета, нежели погрешностью (4.2). Таким образом, можно считать, что при $I \geq 0.01$ и любых μ (4.2) дает по крайней мере два верных знака после запятой.

¹ Сретенский, Е. Б. К теории мембранных датчиков напряжений. Дипломная работа, МФТИ, 1970 г.

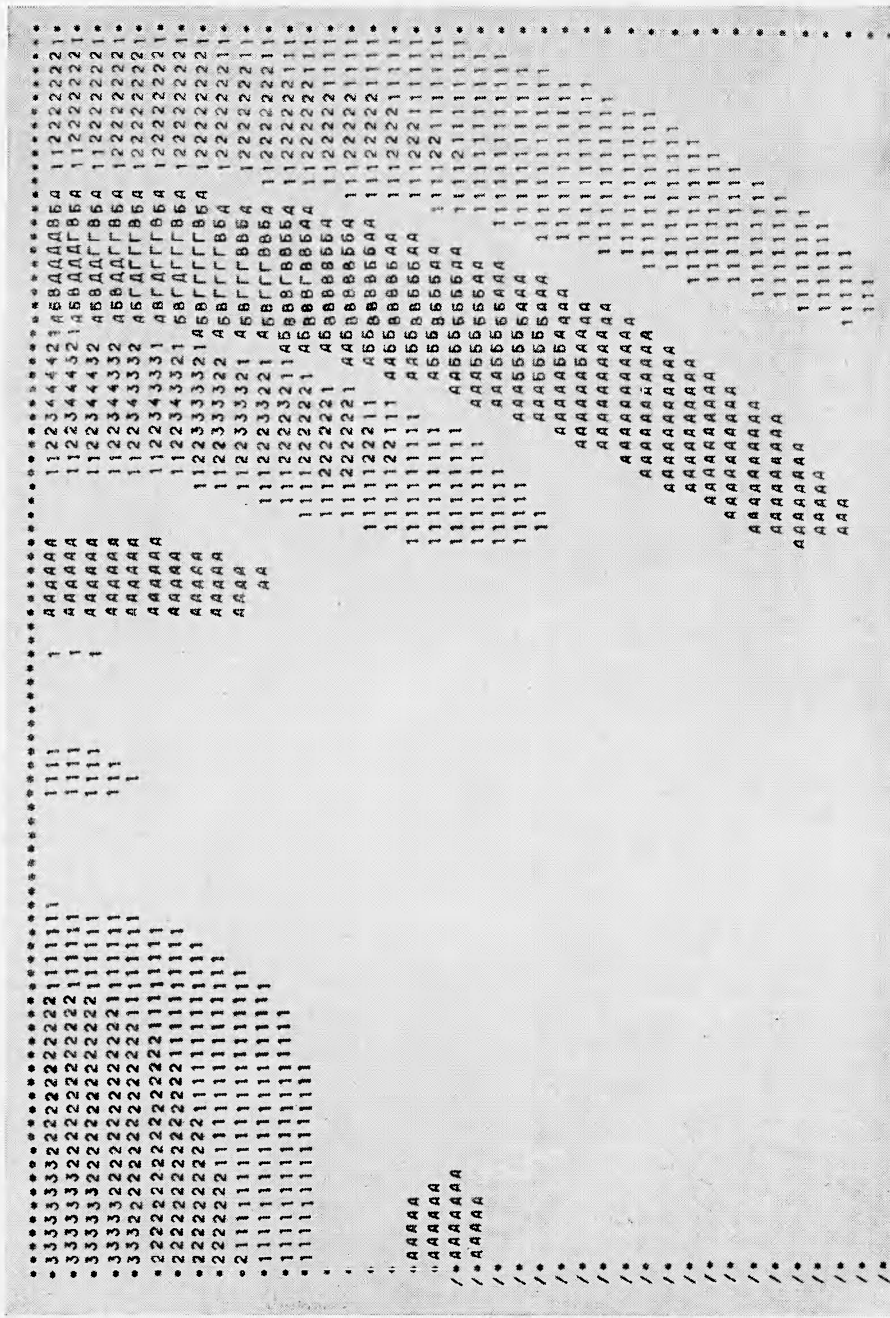


Фиг. 6

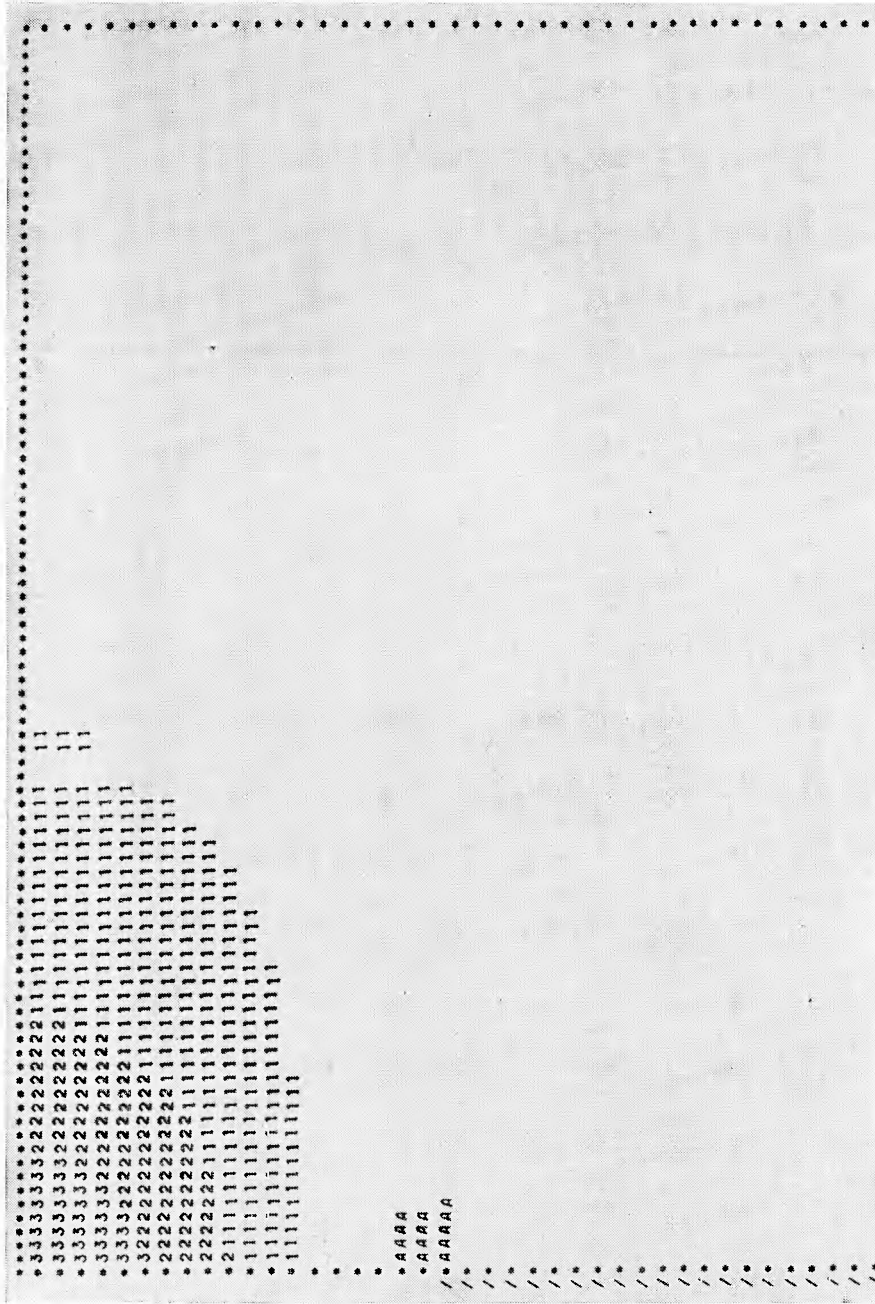
Из (4.2) можно усмотреть, что влияние μ существенно при малых I и падает с ростом I . Аналогично обстоит дело и в динамике. На фиг. 5 изображено $\sigma(t)$ для $I = 1$, $h = 0.05$, $z_0 = R_0 = 2.5$, причем кривая 1 соответствует $\mu = 0.5$, $\rho = 0.1$, кривая 2 — $\mu = 0.3$, $\rho = 0.5$.

The image shows a large grid of handwritten text in Cyrillic script. The text is organized into several columns and rows. Some rows begin with a symbol followed by a series of letters. The handwriting is somewhat uniform but contains variations in letter size and style. There are also some blank spaces and punctuation marks like question marks and asterisks.

Фиг. 7



Фиг. 8



Фиг. 9

Расчет для $\mu = 0.01$ дал совпадение с кривыми 1 и 2 с ошибкой меньше 0.01. Это значит, что для достаточно жестких пластинок движение близко к одномерному.

Распределение напряжений над пластинкой во времени иллюстрируют фиг. 6—9, где изображено $\sigma_{zz}(r, z)$ в моменты времени $t = 1.0, 2.0, 3.0, 5.0$ для следующей комбинации параметров: $\mu = 0.3, I = 0.1, \rho =$

= 0.1. По оси абсцисс отложено r , по оси ординат — z , стенка отмечена штриховкой. Зоны пониженных напряжений отмечены символами 1, 2, 3, ..., повышенных — символами A , B , B' , G . Переход к следующему символу соответствует изменению σ_{zz} на 0.05. В частности, отсутствие символа означает $\sigma_{zz} = 1 \pm 0.025$; символ A означает $\sigma_{zz} = 1.05 \pm 0.025$, символ I — $\sigma_{zz} = 0.95 \pm 0.025$ и т. д.

Проводился контроль точности результатов варьированием параметров h , z_0 , R_0 . Выяснилось, что замена бесконечной области конечной с условиями (2.4) дает незначительный вклад в общую ошибку, которая для рассмотренных вариантов не превышала 0.05.

В заключение автор благодарит участников семинара по динамике сплошной среды Института проблем механики за обсуждение работы.

Поступила 23 VII 1971

ЛИТЕРАТУРА

1. Скобеев А. М. О влиянии измерительного прибора на напряжения в грунте. Изв. АН СССР, МТТ, № 4, 1970.
2. Ландау Л. Д., Лифшиц Е. М. Теория упругости. М., Физматгиз, 1965.
3. Вазов В., Форсайт Дж. Разностные методы решения дифференциальных уравнений в частных производных. М., Изд-во иностр. лит., 1963.
4. Askgaard Vagn. Measurement of pressure between a rigid wall and a compressible medium by means of pressure cells; basic considerations concerning three types of pressure cells. Acta Polytech. Scandinavica, Ser. ci, 1961, No. 11, pp. 1—35.